

ORIGINAL ARTICLE

Inducing and inhibitory effects of amniotic membrane on angiogenesis in an animal model

Ghodsieh Paeini Vayghan¹,

Habibollah Peirovi²,

Hassan Niknejad³

¹ Shahid Beheshti University of Medical Sciences, Tehran, Iran

² Department of Surgery, Nanomedicine and Tissue Engineering Research Center, Faculty of Medicine, Shahid Beheshti University of Medical Sciences, Tehran, Iran

³ Department of Pharmacology, Nanomedicine and Tissue Engineering Research Center, Faculty of Medicine, Shahid Beheshti University of Medical Sciences, Tehran, Iran

(Received December 6, 2012 ; Accepted February 23, 2013)

Abstract

Background and purpose: Amniotic membrane (AM), the nearest layer of placenta to the fetus, has two surfaces of epithelial and mesenchymal. The AM contains both angiogenic and anti-angiogenic factors which would result in inducing or inhibition of angiogenesis. Also, there are controversial reports on angiogenesis of the AM. We hypothesized here that angiogenic or anti-angiogenic characteristic of the AM could be depending on the surface. So, the aim of this study was to evaluate surface-dependent angiogenesis of the AM.

Materials and methods: Human placenta was obtained shortly after elective Cesarean. Amniotic membrane was separated from the placenta by peeling. The AM was transplanted by dorsal skinfold chamber. Microinvital microscopy was performed one week after transplantation of the AM. Analysis of data was performed using one-way analysis and post-Tukey test in ANOVA.

Results: Mesenchymal surface of the AM increased the number of vessel sprouts and their lengths in comparison to control group. Epithelial surface of the AM notably decreased the angiogenesis. Although the number of branch points did not decrease in comparison to control group, their lengths decreased significantly compared with control and epithelial side up groups.

Conclusion: These results demonstrate that the AM surface-dependently promotes or inhibits angiogenesis, probably owing to possessing angiogenic or anti-angiogenic factors. Inducing or inhibition of angiogenesis by the AM can be a beneficial therapeutic approach in ischemic diseases or cancer, respectively.

Keywords: Amniotic membrane, Epithelial surface, Mesenchymal surface, Angiogenesis.

J Mazand Univ Med Sci 2013; 23(Supple 1): 124-133 (Persian).

اثرات القایی و مهاری پرده آمنیون بر آنتیبیوتیک در یک مدل حیوانی

قدسیه پایینی وايقان^۱

حبيب الله پیروی^۲

حسن نیکنژاد^۳

چکیده

سابقه و هدف: پرده آمنیون نزدیک ترین لایه از بافت‌های خارج رویانی به جنبین است که دارای دو سطح اپیتیال و مزانشیمال می‌باشد. پرده آمنیون به خاطر داشتن فاکتورهای آنتی آنتیبیوتیک و آنتیبیوتیک می‌تواند سبب مهار و یا تحریک آنتیبیوتیک شود. در این راستا، نتایج ضد و نقیضی در مورد آنتیبیوتیک پرده آمنیون گزارش شده است. هدف از این تحقیق، بررسی آنتیبیوتیک پرده آمنیون و احتمال وابسته به سطح بودن آن می‌باشد.

مواد و روش‌ها: پرده آمنیون با روش dorsal skinfold chamber به موش صحرایی پیوند زده شد. تعداد جوانه‌های رگی و رشد طولی مویرگ‌ها پس از ۷ روز با روش میکروسکوپی در موجود زنده (microinvital microscopy) مورد بررسی قرار گرفت. نتایج حاصل در بین گروه‌ها با روش ANOVA مقایسه شد (Tukey Post-Test).

یافته‌ها: هنگامی که سطح مزانشیمال در مجاورت بافت قرار داشت، تعداد جوانه‌های رگی و رشد طولی رگ‌ها نسبت به بافت کنترل زیاد شد. مجاورت سطح اپیتیال اثر مهاری مشخصی در آنتیبیوتیک نشان داد. تعداد جوانه‌های رگی در مقایسه با بافت کنترل تفاوت زیادی نداشت، اما میزان رشد طولی رگ‌ها در مقایسه با گروه کنترل و گروهی که سطح مزانشیمال در مجاورت بافت حیوانی قرار داشت، کاهش یافته بود.

استنتاج: پرده آمنیون در دو سمت اپیتیال و مزانشیمال، خواص آنتیبیوتیک وابسته به سطح از خود نشان می‌دهد که می‌تواند به خاطر داشتن فاکتورها و مارکرهای متفاوت باشد. تحریک و مهار آنتیبیوتیک توسط پرده آمنیون را می‌توان به عنوان دستاوردهای درمان بیماری‌های ایسکمیک یا سرطانی به کار گرفت.

واژه‌های کلیدی: آمنیون، سطح اپی تلیال، سطح مزانشیمال، آنتیبیوتیک

مقدمه

پری کاردیوم و جلوگیری از چسبندگی جراحی استفاده شده است^(۱). آمنیون شامل یک لایه از سلول‌های اپیتیالی است که به طور محکمی به غشای پایه چسبیده‌اند^(۲,۳). ضخامت آمنیون بین ۰/۰۲ mm تا ۰/۰۵ mm گزارش شده است. این پرده رگ‌های خونی ندارد

در سال ۱۹۱۰ برای اولین بار از پرده آمنیون برای پیوند پوست استفاده شد. پس از آن گزارشات متعددی از استفاده از پرده آمنیون برای نوار زخم بندی بیولوژیکی در سوختگی‌ها ارائه شده است. همچنین، این ساختار چند بعدی برای جراحی بازسازی واژن، بستن

E-mail: niknejad@sbmu.ac.ir

مؤلف مسئول: حسن نیکنژاد - تهران: ولنجک، بیمارستان طالقانی، مرکز تحقیقات نانوتکنولوژی پزشکی و مهندسی بافت

۱. دانشگاه علوم پزشکی شهید بهشتی، تهران، ایران

۲. گروه جراحی عمومی، مرکز تحقیقات نانوتکنولوژی پزشکی و مهندسی بافت، دانشکده پزشکی، دانشگاه علوم پزشکی شهید بهشتی، تهران، ایران

۳. گروه فارماکولوژی، مرکز تحقیقات نانوتکنولوژی پزشکی و مهندسی بافت، دانشکده پزشکی، دانشگاه علوم پزشکی شهید بهشتی، تهران، ایران

تاریخ دریافت: ۱۳۹۱/۹/۱۶ تاریخ ارجاع بهت اصلاحات: ۱۳۹۱/۱۱/۲۴ تاریخ تصویب: ۱۳۹۱/۱۱/۲۵

می شوند(۱۳). تخریب پروتئولیتیک غشای پایه رخ می دهد(۱۴) که این تخریب با آزاد شدن ماتریکس متالوپروتئیناز در پاسخ به سیگنال های خارجی مانند سیتوکین ها و فاکتور های رشد ایجاد می شود. بعد از آن مهاجرت و تکثیر سلول های اندوتلیوم در ماتریکس خارج سلولی با تحریک فاکتور های رشد انجام می شود(۱۵). شکل گیری و بلوغ لوله های مویرگی جدید با تمايز سلول های عضلات صاف و پریسیت ها(۱۶) و در نهایت بستر رگی با فرایند های آپوپوتیک ایجاد می شود(۱۷).

از طرفی نشان داده شده است که پرده آمنیون دارای فاکتور های آنتی آنزیوژنیک می باشد. این فاکتورها مانند اینترلوکین ۱۰، اینترلوکین ۶، مهار کننده XVIII متالوپروتئیناز بافتی ۳ و ۴ (TIMP 3-4)، کلاژن XVIII و ترومبوسپاندین ۱ (TSP) در پرده آمنیون وجود دارند(۹). مطالعات انجام شده به صورت تجربی و کلینیکی نیز، داری نتایج متناقضی در زمینه اثرات آنزیوژنیک و آنتی آنزیوژنیک پرده آمنیون می باشند(۸، ۹). از آنجایی که بیشتر فاکتور های آنتی آنزیوژنیک از سلول های اپی تیالیا پرده آمنیون ترشح می شوند و از طرفی سلول های مزانشیمال در سمت مخالف دارای سطح بالایی از فاکتور های تحریک کننده آنزیوژن می باشند، بنابراین به نظر می رسد تناقض در زمینه آنزیوژن پرده آمنیون مربوط به سطح اپی تیالیا در مطالعه بررسی آن می باشد. در این راستا، هدف از این مطالعه بررسی اثر آنزیوژنیک و یا آنتی آنزیوژنیک پرده آمنیون و وابسته به سطح بودن آنزیوژن می باشد.

مواد و روش ها

این تحقیق یک مطالعه تجربی آزمایشگاهی می باشد که در آزمایشگاه مرکز تحقیقات نانوتکنولوژی پزشکی و مهندسی بافت دانشگاه علوم پزشکی شهریار بهشتی صورت گرفته است.

و منع خونی مستقیمی هم ندارد. آمنیون از سمت جنین به طرف خارج شامل ۵ لایه می باشد: ۱. اپیتلیال ۲. غشای پایه ۳. لایه فشرده ۴. لایه فیبروبلاستی ۵. لایه اسفنجی(۴). مطالعات پرده آمنیون انسانی که در ۸۰ °C برای ۱ ماه نگهداری شده بود؛ حضور فاکتور های EGF، TGF- β 1، bFGF، HGF ، KGF ، TGF- α بالاتری از فاکتور های رشد مختلف در پرده آمنیوتیک با اپیتلیوم نسبت به پرده آمنیوتیک بدون اپیتلیوم نشان می دهد که اپیتلیوم می تواند منشأ این فاکتور های رشد باشد(۱). سلول های آمنیوتیک انسانی HLA-A ، B و C یا آنتی ژن های DR از β 2 میکرو گلوبین را در سطح خود بیان نمی کنند(۵)، به طوری که پاسخ های ایمونولوژیک در پیوند قابل چشم پوشی هستند. نشان داده شده که هیچ داوطلبی عالیم پس زدن حاد را پس از پیوند پرده آمنیون انسانی نشان نداده و هیچ یک از داوطلبان آنتی بادی مخالف آنتی ژن A-HIL را نساخته اند(۷). در بررسی فاکتور های آنزیوژنیک، سطوح بالایی از آنزیوژنین، انکوژن وابسته به رشد (GRO)، اینترلوکین ۶ (IL-6)، اینترلوکین ۸ (IL-8)، مهار کننده متالوپروتئیناز بافتی ۱ و ۲ (TIMP-1 & 2) و پروتئین MCP-1 از پرده آمنیوتیک ترشح شده است(۹، ۸).

آنژیوژنر شکل گیری رگ های جدید به وسیله جوانه زدن مویرگ ها از رگ های قبلی است(۱۰). فولکمن در حدود ۳۰ سال قبل آنژیوژنر را برای رشد تومور و متاباستاز ضروری می دانست. آنژیوژنر نه تنها در رشد تومور بلکه در فرآیندهای فیزیولوژیک نرمال مانند رشد، باروری و روند بهبودی نقش مهمی ایفا می کند(۱۱).

شکل گیری رگ های جدید طی چند مرحله سریالی رخ می دهد. این مراحل به این ترتیب اتفاق می افتد: عروق مویرگی متسع شده و نفوذ پذیری رگ در ناحیه بین اندوتلیالی آسان تر می شود(۱۲)، سپس سلول های اندوتلیوم به وسیله فاکتور های آنزیوژنیک مانند فاکتور رشد اندوتلیال عروقی (VEGF) تحریک

فيکس شدند. پس از آن نمونه‌ها در پارافین جاسازی شدند و به قطعات ۴ میکرومتری برش زده شدند. برای رنگ آمیزی از هماتوکسیلین و ائوزین (H&E) استفاده شد. پس از رنگ آمیزی نمونه‌ها با میکروسکوپ معکوس مجهز به دوربین مورد بررسی قرار گرفتند. برای بررسی آنتیوژن، روش‌های مختلفی وجود دارد که با توجه به هدف تحقیق انتخاب می‌شود. در اینجا مدل dorsal skinfold chamber انتخاب شد.^(۱۸)

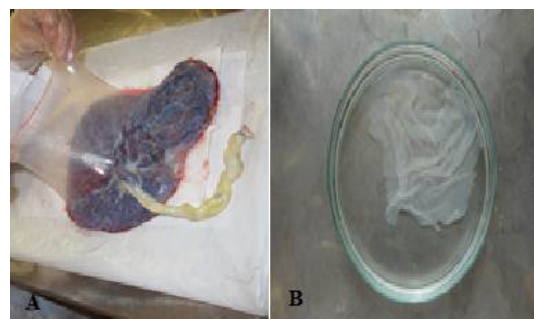
در این تحقیق موش‌های صحرایی نر با وزن ۲۵۰-۲۲۰ گرم در شرایط ایزوله انتخاب شدند ($n=6$) برای هر گروه. این حیوانات در قفس استاندارد با غذای مخصوص و آب نگهداری می‌شدند. کار با حیوان به تایید کمیته اخلاق دانشگاه علوم پزشکی شهید بهشتی رسید. موش‌ها برای بیهوشی استنشاقی تحت تأثیر هالوتان قرار می‌گرفتند. سپس با تزریق داخل صفاقی کتامین (۱۵mg/kg) و زایلازین ۲ درصد (۷۵mg/kg) بیهوش شدند. سطح پشتی موش تراشیده شده و با الکل و بتادین استریل شد. از آنجایی که آنتیوژن یک فرایند فعال و پویا است، مدل dorsal skinfold chamber می‌تواند امکان مشاهده درون تن را با رزولوشن بالا و به صورت سه بعدی در یک دوره زمانی فراهم کند. علاوه بر این، بعد از اتمام آزمایش می‌توان بافت نمونه را به آسانی برداشت. بدین منظور، سطح پشتی موش بین دو قطعه تیتانیومی به صورت ساندویچی قرار گرفت. سپس با کمک پیچ‌های 10×2 mm به یکدیگر بسته شد.

استریل شده و در شرایط درون تن هیچ گونه التهاب و عفونت از خود نشان نمی‌دهد.

یک لایه از پوست سطح پشتی با استفاده از اسکالپل برداشته شد (تصویر شماره A-2). سپس سطح بافت با آب مقطر شسته شد. پرده آمنیون که در محلول پنی‌سیلین-استرپتومایسین نگه داشته شد بود؛ چند بار با PBS شسته شد. این پرده که در قطعه‌ای به قطر ۵ mm

بافت جفت (Placenta) و ضمائم آن از سزارین‌های انتخابی (Elective) تهیه شد. این بافت‌ها از مادرانی که در هفته ۳۸-۳۹ بارداری بودند؛ از بیمارستان عرفان و آیت الله طالقانی تهران تهیه گردید. با وجود آن که بافت جفت دور ریخته می‌شود، رضایت والدین برای استفاده از آن کسب شد. هم چنین آزمایشات سرولوژیکی برای بیماری‌های سفلیس، HIV و هپاتیت C و B انجام شده بود.

بافت جفت در ظرف استریل و در بافر فسفات سالین (PBS) و در دمای 4°C به آزمایشگاه منتقل می‌شد. پرده آمنیون به روش peeling از کوریون جدا شد. پرده آمنیون برای پاک کردن لکه‌های خونی در محلول PBS سرد شستشو داده شد؛ سپس پرده به قطعات کوچک‌تر تقسیم شد. کلیه مراحل جاسازی در شرایط استریل و در زیر هود لامینار انجام گرفت. پرده آمنیون پس از جاسازی، روی فیلتر استرات سلولز که قبلًا با اشعه UV استریل شده بود؛ قرار گرفت و با دقت به ابعاد ۵ میلی متری بریده شد. در نیمی از نمونه‌ها سطح اپیتلیال پرده آمنیون به سمت بالا قرار داشت و در نیم دیگر سطح مزانشیمال به سمت بالا قرار گرفت. سپس نمونه‌های تهیه شده در محلول پنی‌سیلین-استرپتومایسین قرار داده شد (تصویر شماره ۱).



تصویر شماره ۱: A: جفت و ضمائم آن B: پرده آمنیون بعد از مراحل جاسازی و شستشو

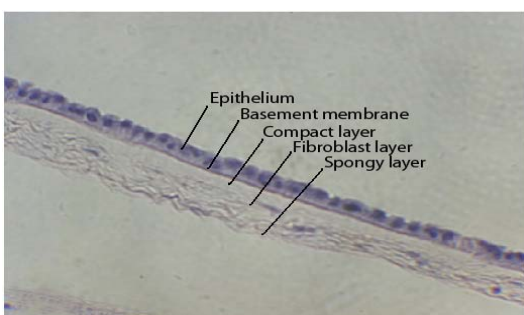
هیستولوژی

برای مطالعات هیستولوژیکی نمونه‌های بافتی در فرمالدئید ۴ درصد در بافر cacodylate برای ۷۲ ساعت

رگ در ناحیه‌ای که بافت پیوند شده بود انتخاب و تعداد شاخه‌های آن که در طول آنزیوژن ایجاد شده بود، شمارش گردید. پس از آن طول جوانه‌های رگی اندازه‌گیری شد. متغیرهای مورد بررسی شامل میزان جوانه زنی مویرگکها و طول رگ‌ها به صورت \pm mean SEM بیان شدند. گروههای مورد مطالعه شامل گروه کنترل و گروه اپی تیال بالا و گروه مزانشیمال بالا بودند. نتایج حاصل در بین گروه‌ها با روش ANOVA به وسیله نرم افزار graphpad prism version 3.02 مقایسه شد (Tukey Post-Test). تفاوت بین نمونه‌ها در دو سطح $p < 0.05$ و $p < 0.01$ بررسی گردید.

یافته‌ها

رنگ آمیزی هماتوکسیلین-ائوزین در نمونه‌های پرده آمنیون تازه تهیه شده نشان داد که پرده آمنیون در حالت طبیعی از ۵ لایه تشکیل شده است (تصویر شماره ۳). لایه اپی تیالوم که در آن سلول‌های مکعبی شکل اپی تیال آمنیون با پیوستگی کامل، روی لایه غشاء پایه قرار دارند. در زیر غشاء پایه، لایه متراکم (compact layer) با ساختار شبکه‌ای رتیکولار قرار دارد که لایه زیرین آن لایه فیربلاستی (fibroblastic layer) است که در آن سلول‌های فیربلاستی در درون شبکه رتیکولار با تراکم کمتر نسبت به لایه متراکم، قرار دارند. لایه اسفنجی (spongy layer) داخلی ترین لایه است که در مقاطع بافت شناسی پرده آمنیون دیده می‌شود.



تصویر شماره ۳: ساختار ۵ لایه ای پرده آمنیون که شامل اپیتیلوم، غشای پایه لایه فشرده، لایه فیربلاست، لایه اسفنجی می‌باشد.

بریده شده، به دو صورت سمت اپی تیال بالا (Epithelial side up) و سمت مزانشیمال بالا (mesenchymal side up) در مرکز حلقه chamber قرار گرفت. سپس یک اسالید شیشه‌ای روی سطح بافت قرار گرفت. حلقه chamber روی آن فیکس شد (تصویر شماره B-۲). حیوانات یک ساعت بعد از به هوش آمدن، به قفس‌های جداگانه منتقل می‌شدند.



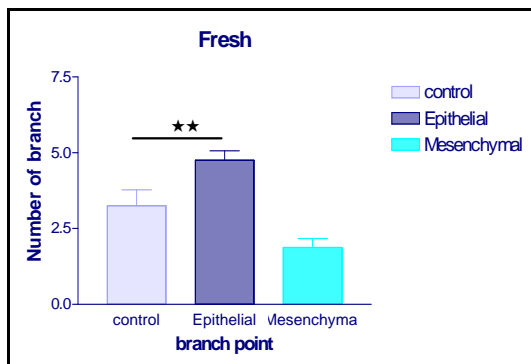
تصویر شماره ۲: A: برداشتن یک لایه از بافت B: پیوند skinfold chamber و بافت

پس از هفت روز، برای مشاهده میکروسکوپی، حیوان تحت تأثیر هالوتان قرار گرفت. سپس با تزریق داخل صفاقی کتامین (75 mg/kg) و زایلزین ۲ درصد (15 mg/kg) بیهوش شد. تمام نمونه‌های دچار عفونت یا هرگونه التهاب در ناحیه پیوند حذف شدند. موش dorsal skinfold chamber داخل هولدر قرار گرفته و میکروسکوپ فیکس شد. پس از آن هولدر را زیر میکروسکوپ معکوس قرار داده و محل کاشت بافت و نحوه ایجاد رگ‌ها و آنزیوژن مشاهده گردید. تصاویر با دوربین نیکون که به میکروسکوپ متصل بود، گرفته و برای آنالیز به کامپیوتر منتقل شد.

National Institutes of Health, (Image J (Bethesda, Maryland که توسط میکروسکوپ گرفته شد، استفاده شد. تصاویر در میکروسکوپ با عدسی چشمی ۴X گرفته شد، سپس در نرم افزار اجرا گردید. با توجه به این که هر سانتی‌متر روی تصویر برابر با $12 \mu\text{m}$ در اندازه واقعی است؛ نرم افزار برای اندازه‌گیری تراز شد. برای اندازه‌گیری، یک



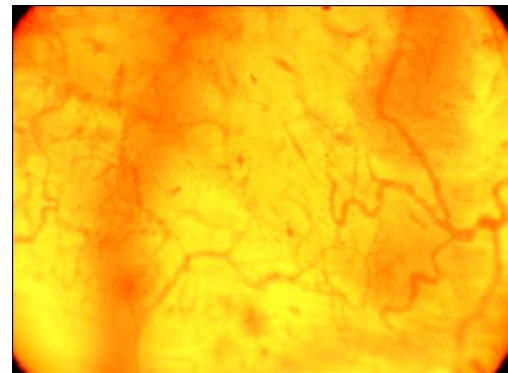
تصویر شماره ۵: مشاهده حدود بافت و جوانه های عروقی با بزرگ نمایی X۴۰. سطح اپی تیال بالا و سطح مزانشیمال در معرض عروق قرار دارد. ستاره سفید نشانگر آنژیوژن در زیر بافت پیوند شده و ستاره سیاه آنژیوژن کمتر در منطقه پیرون از محل پیوند را نشان می دهد. فلاش ها محدوده بافت پیوندی را مشخص می کنند.



نمودار شماره ۱: تعداد جوانه های رگی در بافت حیوانی در گروه کنترل و بعد از پیوند پرده آمنیون در دو سطح اپیتیال بالا و مزانشیمال بالا بررسی شدند. در پیوندی که سطح اپی تیال پرده آمنیون بالا قرار گرفته بود باعث افزایش تعداد جوانه های رگی شده است ($4/75 \pm 0/10$ عدد) (p<0.01).

هنگامی که سطح اپیتیال در مجاورت بافت حیوانی بود، اثر مهاری برای آنژیوژن نشان داد و میزان رگ های که در زیر بافت بودند نسبت به بافت اطراف کاهش قابل ملاحظه ای از خود نشان داد (تصویر شماره ۶). در مقایسه با نمونه کنترل نیز در میزان جوانه زنی رگ ها کاهش دیده شد؛ هرچند این اختلاف معنی دار نبود ($1/87 \pm 0/29$ عدد).

برای بررسی آنژیوژن به صورت درون تن از مدل dorsal skinfold chamber استفاده شد. امروزه این مدل برای مشاهده و آزمایش انواع مختلفی از بافت های پیوندی و ترکیبات مختلف که در فرایند آنژیوژن نقش دارند، در طول یک دوره زمانی به کار می رود. در این تحقیق پرده آمنیون به عنوان یک ساختار زیستی با خواص متفاوت مورد بررسی قرار گرفت. در نمونه کنترل، هیچ بافتی پیوند نشد تا میزان آنژیوژن طبیعی بافت اندازه گیری شود. نتایج هیستولوژی، هیچ گونه عفونت، فیروز و اسکار در بافت ها را نشان نداد. برای بررسی تأثیر پرده آمنیون بر میزان آنژیوژن و تفاوت دو سطح اپیتیال و مزانشیمال، این سطوح با یکدیگر و با بافت کنترل مورد مقایسه قرار گرفتند (n=6). میانگین بافت کنترل در بررسی تعداد جوانه ها $0/52 \pm 3/25$ بود (تصویر شماره ۴).



تصویر شماره ۶: نمونه ای از بافت کنترل پس از ۷ روز، که در آن هیچ گونه بافتی پیوند نشده است

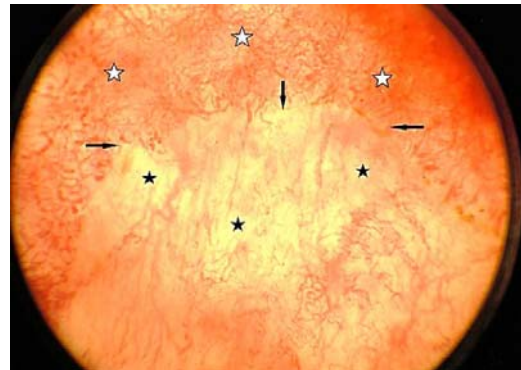
هنگامی که پرده آمنیون با سطح مزانشیمال در مجاورت بافت حیوانی پیوند داده شد، میزان جوانه زنی رگ ها در مقایسه با سطح اپی تیال و بافت کنترل بیشتر شد (تصویر شماره ۵) ($4/75 \pm 0/31$ عدد). این اختلاف در مقایسه با سطح اپی تیال معنی دار بود ($p < 0.05$) (نمودار شماره ۱).

طولی کمتری داشت ($1/98 \pm 18/85$ میکرومتر). ($p < 0.01$) و ($p < 0.05$).

بحث

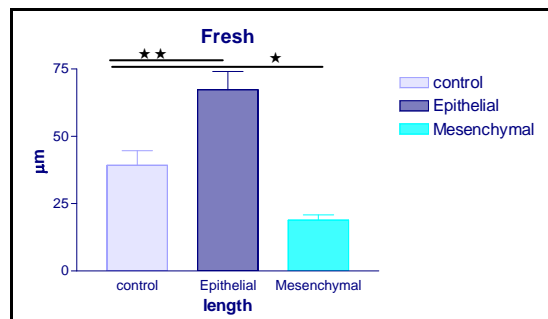
در این پژوهش برای بررسی آثربوثرن در شرایط درون تن از مدل dorsal skinfold chamber استفاده شد. این مدل امکان مشاهده و بررسی آثربوثرن را در طی دوره‌های زمانی متفاوت (در این پژوهش دوره زمانی ۷ روزه) را فراهم می‌کند. برای بررسی آثربوثرن دو فاکتور تعداد جوانه‌های رگی و میزان رشد طولی آن‌ها مورد مطالعه قرار گرفت. پس از پیوند بافت و طی دوره زمانی ۷ روزه هیچ گونه التهاب و عفونت در محل پیوند دیده نشد. پرده آمنیون با داشتن فاکتورهایی مانند ایترلوکین ۱۰، ایترلوکین ۶، مهارکننده‌های بافتی متالپروتئیناز (TIMPs)، کلاژن XVIII و ترومبوسپاندین ۱ (TSP) سبب کاهش التهاب می‌شود^(۸)^(۹). هم‌چنین در این پژوهش علایمی از فیروز و رد پیوند مشاهده نشد. این نتایج می‌تواند همان گونه که در سایر تحقیقات بیان شده است به دلیل عدم بیان ژن‌ها و پروتئین‌های HLA-ABC (MHC class I) و عدم بیان پروتئین DR (MHC class II) HLA-DR در سلول‌های پرده آمنیون باشد. علاوه بر این، تحقیقات دیگری مقاومت نسبی در برابر رد پیوند (حتی در پیوندهای آلورژنیک) را به علت وجود فاکتورهای مهارکننده سیستم ایمنی HLA-CD59 (immunosuppressive) مانند پروتئین G در پرده آمنیون می‌دانند^(۲۰). از این رو پرده آمنیون به خاطر مزایای متعددی مانند نداشتن آنتی ژن که مشکل رد پیوند را برطرف می‌کند و خواص دیگری مانند اثرات ضد التهابی و ضد فیروزی گزینه مناسبی برای پیوند می‌باشد.

همان گونه که در بخش نتایج بیان شد، در بافت پرده آمنیون هنگامی که سطح مزانشیمال به سمت بالا بود و سطح اپیتلیال در مجاورت بافت قرار داشت، میزان آثربوثرن به صورت محسوسی کمتر از هنگامی بود که



تصویر شماره ۶: مشاهده حدود بافت و جوانه‌های عروقی با بزرگنمایی $\times 40$. سطح مزانشیمال بالا و سطح اپی‌تیال در مجاورت عروق قرار دارد. ستاره سفید نشانگر آثربوثرن و ستاره سیاه عدم وجود آثربوثرن را نشان می‌دهد. فلاش‌ها محدوده بافت پیوندی را مشخص می‌کنند.

در اندازه‌گیری طول رگ‌ها در مجاورت سطح مزانشیمال بعد از یک دوره ۷ روزه افزایش معنی داری با نمونه کنترل وجود داشت. میانگین رشد در گروه اپیتلیال بالا $6/28 \pm 6/81$ میکرومتر بود. این اختلاف با بافت کنترل که میانگین $5/46 \pm 3/9$ میکرومتر بود، معنی دار بود ($p < 0.01$). هم‌چنین این اختلاف با گروه مزانشیمال بالا که میانگین $1/98 \pm 18/85$ میکرومتر داشت؛ معنی دار بود ($p < 0.05$). اختلاف بالای سطح اپیتلیال و مزانشیمال ($p < 0.01$) در نمودار شماره ۲ نشان داده شده است.



نمودار شماره ۲: میزان رشد طولی رگ‌ها در بافت حیوانی در گروه کنترل و بعد از پیوند پرده آمنیون در دو گروه اپیتلیال بالا و مزانشیمال بالا بررسی شدند. در پیوندی که سطح اپی‌تیال بالا قرار گرفته بود میزان رشد طولی رگ‌ها بیشتر از دو گروه دیگر بوده است ($6/28 \pm 6/81$ میکرومتر). در پیوندی که سطح مزانشیمال بالا قرار گرفته بود نیز رگ‌ها از دو گروه کنترل و مزانشیمال رشد

(FGF)، فاکتور رشد β -TGF، فاکتور رشد اپیدرمی (EGF)، فاکتور رشد کراتینوسیت و فاکتور رشد هپاتوسیت در سطح مزانشیمال مطرح شده است. همچنین وجود مارکرهای سطحی سلول‌های بنیادی مزانشیمال پرده آمنیون به اثبات رسیده است (۲۳، ۲۴). Sox-2 و Nanog در سلول‌های مزانشیمال ۳/4 SSEA-4، Oct ۲/4 می‌باشند. بنابراین با وجود این مارکرهای فاکتوری آژنژیوژنیک، سلول‌های مزانشیمال توانایی تمایز یافتن به سلول‌های اندوتیالی را دارند. بنابراین، سلول‌های مزانشیمال پرده آمنیون با تمایز به سلول‌های اندوتیالی عروقی می‌توانند باعث افزایش آژنژیوژن شوند (۲۵، ۲۶).

در مجموع می‌توان گفت که بافت پرده آمنیون دارای خاصیت آنتی آژنژیوژنی و آژنژیوژنی می‌باشد. به طوری که سطح اپیتلیال آن اثر آنتی آژنژیوژنی و سطح مزانشیمال آن دارای خواص آژنژیوژنیک می‌باشد. با توجه به نتایج این تحقیق و خواص دیگر پرده آمنیون، از این بافت می‌توان در مواردی که نیاز به تحریک آژنژیوژن می‌باشد مانند موارد ایسکمیک (با حذف سلول‌های اپیتلیال) و هم می‌توان در مواردی که نیاز به مهار آژنژیوژن است مانند موارد سرطانی استفاده نمود.

سپاسگزاری

بدین وسیله از خانم غزاله علمدارنژاد و آقای مهدی یزدی و قاسم یزدان پناه کلیه عزیزانی که در مرکز تحقیقات نانو تکنولوژی پزشکی و مهندسی بافت دانشگاه علوم پزشکی شهید بهشتی در این تحقیق مساعدت کردند؛ تشکر می‌نمایم. این تحقیق با حمایت مالی ستاد توسعه و کاربرد سلول‌های بنیادی انجام گرفت. این مقاله حاصل پایان نامه کارشناسی ارشد بیهوشی خانم قدسیه پائینی وایقان می‌باشد.

References

1. H.S. Dua, Gomes JAP, King AJ, Maharajan VS. The Amniotic Membrane in

سطح مزانشیمال به سمت بالا قرار داشت. کامش آژنژیوژن در نمونه‌های mesenchymal side up را می‌توان علت حضور پروتئین‌های آنتی آژنژیوژن در سلول‌های اپیتلیال پرده آمنیون دانست. پرده آمنیون با ترشح پروتئین‌هایی مانند ترومبوسپانین و مهارکننده بافتی متالوپروتئیناز (TIMP) می‌تواند آژنژیوژن را مهار کند. در مطالعات که پیش از این انجام شده بود، خاصیت آنتی آژنژیوژنی پرده آمنیون مشاهده شده بود و همین موضوع سبب شده این ساختار زیستی به طور گستردگی در پیوند قرنیه مورد استفاده قرار بگیرد؛ بنابراین، اثر مهار آژنژیوژن مشاهده شده احتمالاً به علت سلول‌های اپیتلیالی می‌باشد (۲۱). در بررسی پیوندهای قرنیه، در مواردی که پیوند از سطح اپیتلیال انجام شده موفقیت‌آمیز بوده است. بر عکس، پیوند پرده آمنیون از سطح مزانشیمال باعث کدر شدن سطح قرنیه شده است که یکی از علل ایجاد کدورت در قرنیه بعد از پیوند، ایجاد آژنژیوژن می‌باشد (۱). در پرده آمنیون هنگامی که سطح اپیتلیال به سمت بالا بود و سطح مزانشیمال در مجاورت بافت قرار داشت میزان آژنژیوژن به صورت محسوسی بیشتر از هنگامی بود که سطح مزانشیمال به سمت بالا قرار داشت. با بررسی تعداد و طول جوانه‌های رگی در بافتی که سطح اپیتلیال به سمت بالا بود و سطح مزانشیمال در مجاورت بافت قرار داشت در مقایسه با بافت کترل افزایش معنی داری دیده شد. افزایش آژنژیوژن در نمونه‌های Epithelial side up را می‌توان به علت حضور پروتئین‌های آژنژیوژنیک در سلول‌های مزانشیمال پرده آمنیون دانست. در تحقیقات جدیدتر وجود فاکتورهای آژنژیوژنیک مانند فاکتور رشد اندوتیال عروقی (VEGF)، انکوژن وابسته به رشد (GRO)، مهارکننده بافتی متالوپروتئیناز ۱ و ۲ (TIMP)، فاکتور رشد فیربلاستی IL-6 (۲۲)، IL-8 (۲۳)، IL-1 (۲۴) و Ophthalmology. Surv Ophthalmol. ۷۷:۵۱-۴۹:۲۰۰۲

2. Matthews R, Faulk W, Bennett J. A review of the role of amniotic membranes in surgical practice. *Obstet Gynecol Annu Rev Cell Dev Biol.* 1982; 11: 31-58
3. Niknejad H, Jorjani M, Ahmadiani A, Ghanavi J, Seifalian AM. Properties of the amniotic membrane for potential use in tissue engineering. *Eur Cell Mater.* 2008; 15: 88-9
4. Niknejad H, Deihim T, Solati-Hashjin M, Peirovi H. The effects of preservation procedures on amniotic membrane's ability to serve as a substrate for cultivation of endothelial cells. *Cryobiology.* 2011; 62: 145-51
5. Norris MA, Becker SN, Cohen MS, Baur PS, JR. MMW, Seybold HM. Bladder Reconstruction in rabbits with Glutaraldehyde-stabilized Amniotic Membranes. *Urology.* 1982; 19(6):631-35.
6. Peirovi H, Rezvani N, Hajinasrollah M, Mohammadi SS, Niknejad H. Implantation of amniotic membrane as a vascular substitute in the external jugular vein of juvenile sheep. *Journal of Vascular Surgery.* 2012; 56(4):108-104.
7. Akle CA, Adinolfi SW, Leibowitz S, Mccoll I. Immunogenicity of Human Amniotic Epithelial Cells After Transplantation into Volunteers. *the lancet.* 1981; 318(8254): 1003 -5
8. Wolbank S, Hildner F ,Redl H, Griensven Mv, Gabriel C, Hennerbichler S. Impact of human amniotic membrane preparation on release of angiogenic factors. *J Tissue Eng Regen Med* 2009. 2009; 3: 51-54.
9. Niknejad H, Paeini-Vayghan G, Tehrani FA, Khayat-Khoei M, Peirovi H. Side dependent effects of the human amnion on angiogenesis. *Placenta* 2013; 34(4): 340-5
10. Ferrer FA, Pantschenko AG, Miller LJ, Anderson K, Grunnet M, Mckenna PH, et al. Angiogenesis And Neuroblastoma: Interleukin- α And Interleukin- α Receptor Expression In Human Neuroblastoma. *The Journal Of Urology.* 2000; 164: 1016-20.
11. Wong MLH, Prawira A, Kaye AH, Hovens CM. Tumour angiogenesis: Its mechanism and therapeutic implications in malignant gliomas. *Journal of Clinical Neuroscience.* 2009; 16: 1119-3.
12. Alessi P, Ebbinghaus C, Neri D. Molecular targeting of angiogenesis. *Biochimica et Biophysica Acta.* 2004; 30: 1649-54.
13. Bellon G, Martiny L, Robinet A. Matrix metalloproteinases and matrikines in angiogenesis. *Critical Reviews in Oncology/Hematology.* 2004; 49: 203-220.
14. Park JH, Jeoung JW, Wee WR, Lee JH, Kim MK, Lee JL. Clinical efficacy of amniotic membrane transplantation in the treatment of various ocular surface diseases. *Contact Lens & Anterior Eye.* 2008; 31: 73-8.
15. Boldrini L, Gisfredi S, Ursino S, Lucchi M, Mussi A, Basolo F, et al. Interleukin- α in non-small cell lung carcinoma: Relation with angiogenic pattern and p53, Alterations. *Lung Cancer.* 2005; 50: 309-17
16. Yao JS, Zhai W, Young WL, Yang GY. Interleukin- α triggers human cerebral endothelial cells proliferation and migration: The role for KDR and MMP-9. *Biochemical and Biophysical Research Communications.* 2006; 342: 1396-404
17. MIHU CM, CIUCĂ DR, SORITĂU O, ŞUŞMAN S, MIHU D. Isolation and characterization of mesenchymal stem cells from the amniotic membrane. *Romanian Journal of Morphology and Embryology.* 2009; 50(1): 73-7.

18. 21. Ehrmantraut S, Laschke MW, Merkel D, Scheuer C, Willnecker V, Meyer-Lindenberg A, Menger MD, Naumann A. Perioperative steroid administration inhibits angiogenic host tissue response to porous polyethylene (Medpor) implants. *Eur Cell Mater.* 2010;19:107-16.
19. Burgos H. Angiogenic and growth factors in human amnio-chorion and placenta. *European Journal of Clinical Investigation* 1983;13: 89-96.
20. Niknejad H, Peirovi H. The Effects of Cryopreservation on Epithelial Cells before and After Isolation from Human Amniotic Membrane. *J Mazand Univ Med Sci* 2012; 22(94): 15-26 (Persian).
21. Kamiya K, Wang M, Uchida S, Amano S, Oshika T, Sakuragawa N, et al. Topical application of culture supernatant from human amniotic epithelial cells suppresses inflammatory reactions in cornea. *Experimental Eye Research.* 2005;80:671-9.
22. Niknejad H, Khayat-Khoei M, Peirovi H. Inhibition of MMPs might increase anticancer properties of amniotic epithelial cells. *Medical Hypotheses.* 2012; 78(4): 690-91.
23. Miki T MK, Ross MA, Stoltz DB, Strom SC. Identification of stem cell marker-positive cells by immunofluorescence in term human amnion. *J Reprod Immunol.* 2007;74(2): 91-6.
24. Niknejad H, Deihim T, Ahmadiani A, Jorjani M, Peirovi H. Permanent expression of midbrain dopaminergic neurons traits in differentiated amniotic epithelial cells. *Neurosci Lett.* 2012; 506(1):22-7
25. Wei JP ZT, Kawa S, Aizawa T, Ota M, Akaike T, Kato K, Konishi I, Nikaido T. Human amnion-isolated cells normalize blood glucose in streptozotocin-induced diabetic mice. *Cell Transplant.* 2003;12(4): 545-52.
26. Takashima S IH, Zhao P, Akaike T, Nikaido T. Human amniotic epithelial cells possess hepatocyte-like characteristics and functions. *Cell Struct Funct.* 2004;29(3):73-84.